# ${\bf Quantenfeld theorie~II}$

Marc Wagner

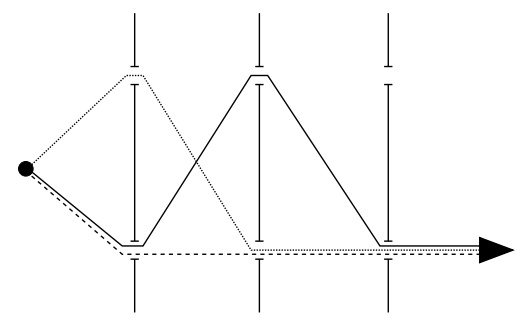
Goethe-Universität Frankfurt am Main – Sommersemester 2025

Version: 17. April 2025

Literatur: [1, 2, 3, 4, 5, 6].

### 1 Pfadintegrale in der QM

- Pfadintegrale: Formalismus zur Quantisierung, alternativ zur kanonischen Quantisierung (Kommutatorrelationen, Schrödinger-Gleichung, etc.).
- Häufig einfachere und systematischere Gestaltung von analytischen Rechnungen.
- Eignet sich (im Gegensatz zum kanonischen Formalismus) zur numerischen Umsetzung (→ Gitterfeldtheorie).
- Grundidee/physikalische Motivation: Doppelspaltexperiment.
  - Klassisches Teilchen geht entweder durch den einen oder den anderen Spalt.
  - QM Teilchen "geht gleichzeitig durch beide Spalte".
  - Iterieren ...



- $\Diamond$  n Doppelspalte  $\to 2^n$  Wege
- ♦ bei unendlich vielen "Unendlichspalten" nimmt ein Teilchen gleichzeitig alle denkbaren Pfade
- Am Ende resultiert der Pfadintegralformalismus: Ein QM Teilchen bewegt sich gleichzeitig auf allen denkbaren Trajektorien.
- Originalarbeit: [7] (R. P. Feynman, 1948).

#### 1.1 Die Übergangsamplitude

- $|x\rangle$ : Ortseigenzustand, zugehörige Wellenfunktion  $\psi(x) \propto \delta(x)$ , also Teilchen am Ort x.
- $\langle x_2, t_2 | x_1, t_1 \rangle$ ,  $t_2 > t_1$ : Übergangsamplitude, beschreibt Überlapp zweier Zustände,
  - Ortseigenzustand  $|x_1\rangle$  zum Zeitpunkt  $t_1$ , der sich bis t in der Zeit entwickelt,
  - Ortseigenzustand  $|x_2\rangle$  zum Zeitpunkt  $t_2$ , der sich bis t in der Zeit entwickelt

(Übergangsamplitude unabhängig von t).

• Zeitentwicklung von Zuständen folgt aus der Schrödinger-Gleichung,

$$i\partial_t |\psi(t)\rangle = H|\psi(t)\rangle \rightarrow |\psi(t)\rangle = e^{-iH(t-t_j)}|\psi(t_j)\rangle$$
 (1)

 $(\hbar = 1, c = 1 \text{ hier und im Folgenden})$ . Damit

#### 1.1.1 Übergangsamplitude, freies Teilchen

- Hamilton-Operator:  $H = p^2/2m$ .
- Übergangsamplitude:

$$\langle x_{2}, t_{2} | x_{1}, t_{1} \rangle = \langle x_{2} | \exp\left(-i\frac{p^{2}}{2m}(t_{2} - t_{1})\right) | x_{1} \rangle =$$

$$= \int dp \, \langle x_{2} | p \rangle \exp\left(-i\frac{p^{2}}{2m}(t_{2} - t_{1})\right) \langle p | x_{1} \rangle =$$

$$= \int dp \, \frac{e^{ip(x_{2} - x_{1})}}{2\pi} \exp\left(-i\frac{p^{2}}{2m}(t_{2} - t_{1})\right) =$$

$$= \frac{1}{2\pi} \int dp \, \exp\left(-i\left(\sqrt{\frac{t_{2} - t_{1}}{2m}}p - \sqrt{\frac{m}{2(t_{2} - t_{1})}}(x_{2} - x_{1})\right)^{2}\right)$$

$$\exp\left(+i\left(\sqrt{\frac{m}{2(t_{2} - t_{1})}}(x_{2} - x_{1})\right)^{2}\right) =$$

$$= \frac{1}{2\pi} \exp\left(+i\frac{m(x_{2} - x_{1})^{2}}{2(t_{2} - t_{1})}\right) \int dp \, \exp\left(-i\frac{t_{2} - t_{1}}{2m}p^{2}\right), \tag{3}$$

wobei  $\langle x|p\rangle=e^{ipx}/\sqrt{2\pi}$  verwendet wurde (Normierung  $1/\sqrt{2\pi}$ , damit  $\langle k|p\rangle=\int dx\,\langle k|x\rangle\langle x|p\rangle=\delta(k-p)$ ).

• Gauß-Integral:

$$\int_{-\infty}^{+\infty} dx \, e^{-ax^2} = \sqrt{\pi/a} \quad \text{(falls Re}(a) > 0)$$
 (4)

(wird im Folgenden auch für Re(a) = 0 verwendet; siehe hierzu Abschnitt ??).

• Übergangsamplitude, Fortsetzung:

$$\dots = \sqrt{\frac{m}{2\pi i(t_2 - t_1)}} \exp\left(+i\frac{m(x_2 - x_1)^2}{2(t_2 - t_1)}\right)$$
 (5)

(scheint unsinnig, da  $W_{x_1\to x_2}=|\langle x_2,t_2|x_1,t_1\rangle|^2$ , die Wahrscheinlichkeit das zum Zeitpunkt  $t_1$  bei  $x_1$  präparierte Teilchen zum Zeitpunkt  $t_2$  bei  $x_2$  zu finden, unabhängig von  $x_1$  und  $x_2$  ist und außerdem  $\int dx_2 \, W_{x_1\to x_2} \neq 1$ . Eine Diskussion dieser Probleme findet sich in Anhang A).

#### 1.1.2 Übergangsamplitude, Teilchen in einem Potential

- Hamilton-Operator:  $H = p^2/2m + V(x)$
- Im Allgemeinen keine geschlossene Lösung.
- Betrachte kleine Zeitdifferenzen  $\epsilon = t_2 t_1$ :

$$e^{-iH\epsilon} = e^{-i(p^2/2m + V(x))\epsilon} = \underbrace{e^{-iV(x)\epsilon/2} \exp\left(-i\frac{p^2}{2m}\epsilon\right) e^{-iV(x)\epsilon/2}}_{=U(\epsilon)} + \mathcal{O}(\epsilon^3), \tag{6}$$

wegen "Baker-Campbell-Haussdorff"  $e^A e^B = e^{A+B+[A,B]/2+\dots}$  (... steht für dritte und höhere Potenzen von A und B). Es gilt

$$\langle x_2|U(\epsilon)|x_1\rangle = e^{-iV(x_2)\epsilon/2}\langle x_2|\exp\left(-i\frac{p^2}{2m}\epsilon\right)|x_1\rangle e^{-iV(x_1)\epsilon/2} =$$

$$= \sqrt{\frac{m}{2\pi i\epsilon}}\exp\left(+i\frac{m(x_2-x_1)^2}{2\epsilon} - i\frac{(V(x_1)+V(x_2))\epsilon}{2}\right).$$

$$(7)$$

• Teile Zeitintervall  $t_1 \dots t_2$  in N kleine Stücke:

$$-t_{2}-t_{1} = N\epsilon.$$

$$-e^{-iH(t_{2}-t_{1})} = (e^{-iH\epsilon})^{N} = U(\epsilon)^{N} + \mathcal{O}(\epsilon^{2}).$$

$$-e^{-iH(t_{2}-t_{1})} = \lim_{N \to \infty} U(\epsilon)^{N}.$$

• Übergangsamplitude:

$$\langle x_{2}, t_{2} | x_{1}, t_{1} \rangle = \langle x_{2} | e^{-iH(t_{2}-t_{1})} | x_{1} \rangle = \lim_{N \to \infty} \langle x_{2} | U(\epsilon)^{N} | x_{1} \rangle =$$

$$= \lim_{N \to \infty} \int dy_{N-1} \dots \int dy_{2} \int dy_{1} \langle x_{2} | U(\epsilon) | y_{N-1} \rangle \dots \langle y_{2} | U(\epsilon) | y_{1} \rangle \langle y_{1} | U(\epsilon) | x_{1} \rangle =$$

$$= \lim_{N \to \infty} \left( \frac{m}{2\pi i \epsilon} \right)^{N/2} \int dy_{N-1} \dots \int dy_{2} \int dy_{1}$$

$$\exp \left( +i \frac{m}{2\epsilon} \left( (x_{2} - y_{N-1})^{2} + \dots + (y_{2} - y_{1})^{2} + (y_{1} - x_{1})^{2} \right) -i\epsilon \left( V(x_{2})/2 + V(y_{N-1}) + \dots + V(y_{2}) + V(y_{1}) + V(x_{1})/2 \right) \right). \tag{8}$$

• Exponent:

$$i\sum_{j=1}^{N} \epsilon \left(\frac{m}{2} \left(\frac{y_j - y_{j-1}}{\epsilon}\right)^2 - \frac{V(y_j) + V(y_{j-1})}{2}\right),\tag{9}$$

wobei  $y_0=x_1$  und  $y_N=x_2$ . Im betrachteten  $\lim_{N\to\infty}$  entspricht dieser Ausdruck der klassischen Wirkung:

$$i\int_{t_1}^{t_2} dt \left(\frac{m}{2}\dot{y}^2(t) - V(y(t))\right) = iS[y],$$
 (10)

wobei  $y(t - t_1) = y_{(t-t_1)/\epsilon}$ .

- Pfadintegral:
  - Nach Definition

$$Dy = \lim_{N \to \infty} \left( \frac{m}{2\pi i \epsilon} \right)^{N/2} dy_{N-1} \dots dy_2 dy_1 \tag{11}$$

gilt für die Übergangsamplitude

$$\langle x_2, t_2 | x_1, t_1 \rangle = \int_{y(t_1) = x_1}^{y(t_2) = x_2} Dy \, e^{iS[y]}.$$
 (12)

- Entspricht einer Summe/Integration über alle denkbaren Trajektorien von  $(x_1, t_1)$  nach  $(x_2, t_2)$ .
- Übergangsamplitude im Pfadintegralformalismus enthält keine Operatoren.
- Klassische Physik: Trajektorien erfüllen  $\delta S = 0$ .
- QM: Summe über alle Trajektorien (auch solche mit  $\delta S \neq 0$ ), "gewichtet" mit klassischer Wirkung.

#### 1.2 Beispiel: Die Übergangsamplitude des HOs

• Klassische Wirkung:

$$S[x] = \int_{t_1}^{t_2} dt \left( \frac{m}{2} \dot{x}^2 - \frac{m\omega^2}{2} x^2 \right). \tag{13}$$

• BGl:

$$0 = \frac{\delta S[x]}{\delta x(t)} = \frac{\delta}{\delta x(t)} \int_{t_1}^{t_2} du \left(\frac{m}{2} \left(\frac{d}{du} x(u)\right)^2 - \frac{m\omega^2}{2} x^2(u)\right) =$$

$$= \int_{t_1}^{t_2} du \left(m \left(\frac{d}{du} x(u)\right) \frac{d}{du} \delta(u-t) - m\omega^2 x(u) \delta(u-t)\right) =$$

$$= \underbrace{m \left(\frac{d}{du} x(u)\right) \delta(u-t)}_{=0 \text{ da } t_1 < t < t_2}^{u=t_2} +$$

$$= \underbrace{0 \text{ da } t_1 < t < t_2}_{=0 \text{ da } t_1 < t < t_2}^{t_2} du \left(-m \left(\frac{d^2}{du^2} x(u)\right) \delta(u-t) - m\omega^2 x(u) \delta(u-t)\right) = -m\ddot{x}(t) - m\omega^2 x(t)}_{=0 \text{ da } t_1 < t < t_2}$$

$$(14)$$

(nur an dieser Stelle so detailliert, ähnliche Rechnungen im Folgenden eher knapp).

• Sei  $x_{\rm cl}(t)$  Lösung dieser BGl mit RBs  $x_{\rm cl}(t_1)=x_1$  und  $x_{\rm cl}(t_2)=x_2$ . Dann kann ein beliebiger Pfad x(t) gemäß  $x(t)=x_{\rm cl}(t)+y(t)$  geschrieben werden mit  $y(t_1)=0$  und

 $y(t_2) = 0$  (y(t) ist also unabhängig von den RBs). Für die Wirkung folgt

$$S[x] = S[x_{cl}] + \int_{t_{1}}^{t_{2}} dt \underbrace{\frac{\delta S[x]}{\delta x(t)}\Big|_{x=x_{cl}}}_{=0 \text{ (BGI)}} y(t) + \frac{1}{2} \int_{t_{1}}^{t_{2}} dt \int_{t_{1}}^{t_{2}} dt' \frac{\delta^{2} S[x]}{\delta x(t) \delta x(t')}\Big|_{x=x_{cl}} y(t) y(t') + \dots = S[x_{cl}] + \frac{1}{2} \int_{t_{1}}^{t_{2}} dt \int_{t_{1}}^{t_{2}} dt' \, \delta(t-t') \left(-m \frac{d^{2}}{dt'^{2}} - m\omega^{2}\right) y(t) y(t') = S[x_{cl}] + \int_{t_{1}}^{t_{2}} dt \left(\frac{m}{2} \dot{y}^{2}(t) - \frac{m\omega^{2}}{2} y^{2}(t)\right),$$

$$(15)$$

wobei

$$\frac{\delta^2 S[x]}{\delta x(t)\delta x(t')} = \delta(t - t') \left( -m \frac{d^2}{dt'^2} - m\omega^2 \right)$$
(16)

$$\frac{\delta^n S[x]}{\delta x(t)\delta x(t')\dots} = 0 , \quad n \ge 3$$
 (17)

verwendet wurde.

• Übergangsamplitude:

$$\langle x_2, t_2 | x_1, t_1 \rangle = \int_{x(t_1) = x_1}^{x(t_2) = x_2} Dx \, e^{iS[x]} = e^{iS[x_{cl}]} \int_{y(t_1) = 0}^{y(t_2) = 0} Dy \, e^{iS[y]}$$
 (18)

(Abhängigkeit von den RBs vollständig im Vorfaktor  $e^{iS[x_{\rm cl}]}$ ).

- Übergangsamplitude, Vorfaktor  $e^{iS[x_{\rm cl}]}$ :
  - Klassische Lösung, die RBs erfüllt:

$$x_{\rm cl}(t) = A\sin(\omega t) + B\cos(\omega t) \tag{19}$$

$$x_{\rm cl}(t_1) = A\sin(\omega t_1) + B\cos(\omega t_1) = x_1 \tag{20}$$

$$x_{\rm cl}(t_2) = A\sin(\omega t_2) + B\cos(\omega t_2) = x_2.$$
 (21)

Auflösen nach A und B, einsetzen in (19),

$$x_1 \sin(\omega t_2) - x_2 \sin(\omega t_1) = B \underbrace{\left(\cos(\omega t_1)\sin(\omega t_2) - \cos(\omega t_2)\sin(\omega t_1)\right)}_{=+\sin(\omega(t_2-t_1))}$$
(22)

$$x_1 \cos(\omega t_2) - x_2 \cos(\omega t_1) = A \underbrace{\left(\sin(\omega t_1)\cos(\omega t_2) - \sin(\omega t_2)\cos(\omega t_1)\right)}_{=-\sin(\omega(t_2-t_1))}$$
(23)

$$x_{\text{cl}}(t) = \frac{1}{\sin(\omega(t_2 - t_1))} \left( -\left(x_1 \cos(\omega t_2) - x_2 \cos(\omega t_1)\right) \sin(\omega t) + \left(x_1 \sin(\omega t_2) - x_2 \sin(\omega t_1)\right) \cos(\omega t) \right).$$

$$(24)$$

- Einsetzen in die Wirkung:

$$S[x_{\rm cl}] = \dots = \frac{m\omega}{2\sin(\omega(t_2 - t_1))} \Big( (x_1^2 + x_2^2)\cos(\omega(t_2 - t_1)) - 2x_1x_2 \Big)$$
 (25)

(längliche Rechnung, benutze z.B. Maple).

• Übergangsamplitude, Pfadintegral

$$F(t_1, t_2) = \int_{y(t_1)=0}^{y(t_2)=0} Dy \, e^{iS[y]} : \tag{26}$$

- Klassische Wirkung, partielle Integration:

$$S[y] = \int_{t_1}^{t_2} dt \left( \frac{m}{2} \dot{y}^2 - \frac{m\omega^2}{2} y^2 \right) = \frac{m}{2} \int_{t_1}^{t_2} dt \, y \left( -\frac{d^2}{dt^2} - \omega^2 \right) y \tag{27}$$

(Oberflächenterm verschwindet wegen  $y(t_1) = y(t_2) = 0$ ).

- $-F(t_1,t_2)$  ist Gauß-Integral (y tritt quadratisch auf), enthält allerdings einen Operator,  $-(d^2/dt^2) \omega^2$ . Entferne Operator durch Entwicklung von y nach entsprechenden Eigenfunktionen:
  - \* Eigenfunktionen  $y_j$  von  $-(d^2/dt^2) \omega^2$ , die RBs  $y_j(t_1) = y_j(t_2) = 0$  erfüllen:

$$\left(-\frac{d^2}{dt^2} - \omega^2\right) y_j = \lambda_j y_j \rightarrow y_j = \sqrt{\frac{2}{t_2 - t_1}} \sin\left(\frac{j\pi(t - t_1)}{t_2 - t_1}\right)$$
 (28)

mit Eigenwerten

$$\lambda_j = \frac{j^2 \pi^2}{(t_2 - t_1)^2} - \omega^2$$

$$(j = 1, 2, ...).$$
(29)

\* Entwicklung von y:

$$y = \sum_{j=1}^{\infty} a_j y_j. \tag{30}$$

\* Einsetzen in die Wirkung:

$$S[y] = \frac{m}{2} \sum_{j=1}^{\infty} \sum_{k=1}^{\infty} a_j a_k \int_{t_1}^{t_2} dt \, y_j \left( -\frac{d^2}{dt^2} - \omega^2 \right) y_k =$$

$$= \frac{m}{2} \sum_{j=1}^{\infty} \sum_{k=1}^{\infty} a_j a_k \int_{t_1}^{t_2} dt \, y_j \lambda_k y_k = \frac{m}{2} \sum_{j=1}^{\infty} a_j^2 \lambda_j,$$
(31)

wobei die Orthonormalität

$$\int_{t_1}^{t_2} dt \, y_j y_k = \delta_{jk} \tag{32}$$

verwendet wurde.

- Transformation der Integrationsvariablen:

$$Dy = \underbrace{\left[ \det \left( \frac{\partial (y(t_1 + \epsilon) \ y(t_1 + 2\epsilon) \ \dots)}{\partial (a_1 \ a_2 \ \dots)} \right) \right] \prod_{j=1}^{\infty} da_j.}_{=J \text{ (Jacobi-Determinante)}}$$
(33)

Da  $y = \sum_j a_j y_j$ , ist  $\partial y(t_1 + j\epsilon)/\partial a_k$  und damit J  $a_j$ -unabhängig. Da  $y = \sum_j a_j y_j$  und  $y_j$   $\omega$ -unabhängig (Gleichung (28)), ist auch  $\partial y(t_1 + j\epsilon)/\partial a_k$  und damit J  $\omega$ -unabhängig. Es folgt

$$F(t_1, t_2) = J \int \left( \prod_{j=1}^{\infty} da_j \right) \exp \left( i \frac{m}{2} \sum_{k=0}^{\infty} a_k^2 \lambda_k \right) =$$

$$= J \prod_{j=1}^{\infty} \left( \int da_j \exp \left( i \frac{m}{2} a_j^2 \lambda_j \right) \right) = J \prod_{j=1}^{\infty} \sqrt{\frac{2\pi}{i m \lambda_j}}.$$
(34)

- Bestimme  $F(t_1, t_2)$  ohne J auszurechnen:
  - \* Für  $\omega = 0$  ist die Übergangsamplitude des HOs identisch zu der des freien Teilchens (Gleichung (5) mit  $x_1 = x_2 = 0$ ):

$$F_{\omega=0}(t_1, t_2) = \sqrt{\frac{m}{2\pi i (t_2 - t_1)}}. (35)$$

\* Berechne Verhältnis:

$$\frac{F(t_1, t_2)}{F_{\omega=0}(t_1, t_2)} = \prod_{j=1}^{\infty} \left(\frac{\frac{j^2 \pi^2}{(t_2 - t_1)^2} - \omega^2}{\frac{j^2 \pi^2}{(t_2 - t_1)^2}}\right)^{-1/2} = \prod_{j=1}^{\infty} \left(1 - \frac{\omega^2 (t_2 - t_1)^2}{j^2 \pi^2}\right)^{-1/2} = \left(\frac{\sin(\omega(t_2 - t_1))}{\omega(t_2 - t_1)}\right)^{-1/2},$$
(36)

wobei die  $\omega$ -Unabhängigkeit von J verwendet wurde sowie die Produktentwicklung des Sinus,

$$\sin(x) = x \prod_{i=1}^{\infty} \left( 1 - \frac{x^2}{j^2 \pi^2} \right). \tag{37}$$

\* Damit

$$F(t_1, t_2) = F_{\omega=0}(t_1, t_2) \left( \frac{\sin(\omega(t_2 - t_1))}{\omega(t_2 - t_1)} \right)^{-1/2} = \sqrt{\frac{m\omega}{2\pi i \sin(\omega(t_2 - t_1))}}. (38)$$

• Übergangsamplitude, Endergebnis:

$$\langle x_{2}, t_{2} | x_{1}, t_{1} \rangle = e^{iS[x_{cl}]} F(t_{1}, t_{2}) =$$

$$= \sqrt{\frac{m\omega}{2\pi i \sin(\omega(t_{2} - t_{1}))}}$$

$$\exp\left(i\frac{m\omega}{2\sin(\omega(t_{2} - t_{1}))} \left((x_{1}^{2} + x_{2}^{2})\cos(\omega(t_{2} - t_{1})) - 2x_{1}x_{2}\right)\right). \tag{39}$$

;

#### Literatur

- [1] L. H. Ryder, "Quantum field theory," Cambridge University Press.
- [2] M. Srednicki, "Quantum field theory," Cambridge University Press.
- [3] M. E. Peskin and D. V. Schroeder, "An introduction to quantum field theory," Perseus Books.
- [4] C. Itzykson and J.-B. Zuber, "Quantum field theory," Dover Books on Physics.
- [5] I. Montvay and G. Münster, "Quantum fields on a lattice," Cambridge University Press.
- [6] H. J. Rothe, "Lattice gauge theories: an introduction," World Scientific Lecture Notes in Physics.
- [7] R. P. Feynman, "Space-time approach to nonrelativistic quantum mechanics," Rev. Mod. Phys. **20**, 367 (1948).
- [8] K. Nakamura et al. (Particle Data Group), J. Phys. G 37, 075021 (2010) and 2011 partial update for the 2012 edition.
- [9] K. Jansen *et al.* [ETM Collaboration], " $\Lambda_{\overline{\text{MS}}}$  from the static potential for QCD with  $n_f=2$  dynamical quark flavors," JHEP **1201**, 025 (2012) [arXiv:1110.6859 [hep-ph]].
- [10] P. Schmüser, "Feynman-Graphen und Eichtheorien für Experimentalphysiker," Springer (1988).
- [11] M. Wagner, "Numerische Methoden der Physik (Aufgabenblatt 04, Aufgabe 07)," Vorlesung, Goethe-Universität Frankfurt am Main, Wintersemester 2011/12. Springer (1988).
- [12] K. E. Cahill, "Noncompact lattice simulations of SU(2) gauge theory," Phys. Lett. B **304**, 307 (1993) [hep-lat/9301010].

## A QM Übergangsamplitude, Probleme

• Gleichung (5) (QM Übergangsamplitude, freies Teilchen):

$$\langle x_2, t_2 | x_1, t_1 \rangle = \sqrt{\frac{m}{2\pi i (t_2 - t_1)}} \exp\left(+i \frac{m(x_2 - x_1)^2}{2(t_2 - t_1)}\right).$$
 (40)

Scheint unsinnig, da  $W_{x_1 \to x_2} = |\langle x_2, t_2 | x_1, t_1 \rangle|^2$ , die Wahrscheinlichkeit das zum Zeitpunkt  $t_1$  bei  $x_1$  präparierte Teilchen zum Zeitpunkt  $t_2$  bei  $x_2$  zu finden, unabhängig von  $x_1$  und  $x_2$  ist und außerdem  $\int dx_2 W_{x_1 \to x_2} \neq 1$ .

• Ersetze  $|x_1\rangle$  durch  $|\psi\rangle$ , ein bei x=0 zentriertes Gaußsches Wellenpaket mit Breite  $\sigma$ :

$$\langle x_{2}, t_{2} | \psi, t_{1} \rangle = \int dp \, \langle x_{2} | e^{-iH(t_{2} - t_{1})} | p \rangle \langle p | \psi \rangle =$$

$$= \int dp \, \frac{1}{\sqrt{2\pi}} e^{ipx_{2}} e^{-i(p^{2}/2m)(t_{2} - t_{1})} \frac{\sqrt{\sigma}}{\pi^{1/4}} e^{-p^{2}\sigma^{2}/2} =$$

$$= \left(\frac{\sigma}{2\pi^{3/2}}\right)^{1/2} \int dp \, \exp\left(-\left(\frac{\sigma^{2}m + i(t_{2} - t_{1})}{2m}p^{2} - ix_{2}p - \frac{mx_{2}^{2}}{2(\sigma^{2}m + i(t_{2} - t_{1}))}\right)\right)$$

$$= \exp\left(-\frac{mx_{2}^{2}}{2(\sigma^{2}m + i(t_{2} - t_{1}))}\right) =$$

$$= \left(\frac{\sigma m}{\sqrt{\pi}(\sigma^{2}m + i(t_{2} - t_{1}))}\right)^{1/2} \exp\left(-\frac{mx_{2}^{2}}{2(\sigma^{2}m + i(t_{2} - t_{1}))}\right). \tag{41}$$

- Für  $x_1=0$  und im Limes  $\sigma\to 0$  ist (41) mit (40) im Exponentialanteil identisch, nicht jedoch im Vorfaktor. Dies liegt an der Tatsache, dass der Ortseigenzustand  $|x_1\rangle=\delta(x-x_1)$  nicht normiert ist. Wählt man an Stelle des normierten Gaußschen Wellenpakets  $|\psi\rangle=(\pi\sigma^2)^{-1/4}e^{-x^2/2\sigma^2}$  ein nicht-normiertes in dem Sinn, dass  $\lim_{\sigma\to 0}|\psi\rangle=\delta(x)$ , also  $|\psi\rangle=(2\pi\sigma^2)^{-1/2}e^{-x^2/2\sigma^2}$ , erhält (41) einen zusätzlichen Faktor  $(2\sqrt{\pi}\sigma)^{-1/2}$  und (41) und (40) stimmen im Limes  $\sigma\to 0$  überein (guter Test).
- $-\int dx_2 \,\tilde{W}_{0\to x_2} = 1$  mit  $\tilde{W}_{0\to x_2} = |\langle x_2, t_2|\psi, t_1\rangle|^2$  erfüllt, falls  $\sigma$  behalten wird, also nicht = 0 gesetzt wird (Problem  $\int dx_2 \, W_{x_1\to x_2} \neq 1$  eng verknüpft mit der Verwendung von (4) für  $\operatorname{Re}(a) = 0$ ; Problem tritt nicht auf, bei Rechnung mit Gaußschem Wellenpaket, da dann  $\operatorname{Re}(a) > 0$ ; zeigt also die Gefahr bei Verwendung von Minkowski-Pfadintegralen ohne " $\epsilon$ -Regulator").
- $-\tilde{W}_{0\to x_2}$  hängt für  $\sigma > 0$  von  $x_2$  ab, nicht mehr jedoch für  $\sigma = 0$  (Interpretation: Ein perfekter Ortseigenzustand delokalisiert instantan).